

大阪大学大学院 正会員 川谷充郎 大阪大学大学院 正会員 小林義和  
大阪大学大学院 学生員○川木秀昭 大阪大学工学部 学生員 織田敏彰

**1. まえがき** 道路橋交通振動の周辺環境への影響を軽減するため、複数の単純桁を連結すると共に弾性支承化するノージョイント工法が行われている。また、免震構造としての弾性支承化が進められる傾向がある。このとき、既設桁と連結化桁との接続部における段差に起因する振動が問題となる<sup>1)</sup>。弾性支承化および桁連結化に伴う橋梁各部の動的応答の変化を検討するため三次元動的応答解析を行い、都市高速道路高架橋における実験結果と比較検討する。

**2. 解析手法と解析モデル** **2.1 橋梁モデル** 対象橋梁は都市高速道路高架橋の6径間連結化されたP1-P7の径間（鋼1桁橋5本主桁）である。支間長はP1-P2間が31.0m, P2-P3が39.0m, その他のP3-P7は35.0mである。本橋梁をモデル化するにあたり、隣接径間の影響を考慮するため、P0-P1間（支間長30.0m）、P7-P8間（支間長35.0m）もモデルに含める。橋梁モデル図をFig.1に示す。1節点6自由度の有限要素を用いて三次元骨組構造としてモデル化するが、質量は節点集中質量として各節点に振り分ける。解析モデルにおける主桁部材、支承、橋脚梁部材の中立軸のくい違いをオフセット部材を用いて考慮する。支承の構造として二重節点を定義し、鋼製支承の場合はピン結合とし、両端とも変位を拘束し、回転のみ自由とする<sup>2)</sup>。ゴム支承の場合はその節点間に各方向、回転についてばね定数を設定する。ばね定数はゴムのせん断弾性係数から、X軸(橋軸)方向およびY軸(橋軸直角)方向に347tf/m, Z軸(鉛直)方向に62778tf/mとなり、回転については0tfm/radとする。実際の弾性支承においては、橋軸直角方向にストッパーが設けられていることより、その方向のばね定数を大きくするのが妥当であり、試算によりここではY方向のばね定数を100倍にする。

**2.2 車両モデル** 走行車両は後軸がタ

ンデム軸のダンプトラックを、8自由度系三次元システムとしてモデル化する<sup>3)</sup>。車両モデルの諸数値は類似車両（総重量：19.87tf, 固有振動数：前軸 1.9Hz, 後軸 3.2Hz）のものを用いる<sup>4)</sup>。また、車両の走行位置は、走行車線で左側タイヤおよび右側タイヤが、それぞれG1桁およびG2桁から幅員中央方向に0.825mである。車両走行位置をFig.1に示す。車両走行速度は16.67m/s(60km/h)とする。

**2.3 三次元動的応答解析** 桁橋と走行荷重との連成振動の微分方程式をモード法により定式化し、Newmark's-β法を用いて逐次積分して動的応答を求める。橋梁の減衰定数は、実験では得られなかったので、他の橋梁を参考に1次モードと2次モードについてh=1.5%を用いる。高架橋において走行車両により励起される振動数は、車両のばね上振動に起因する数Hzの振動成分およびばね下振動に起因する数10Hzの振動成分のため、解析において考慮するモード次数を635次（鋼支承時： $f_{635}=89.9\text{Hz}$ , ゴム支承時： $f_{635}=101.2\text{Hz}$ , 桁連結時： $f_{635}=122.6\text{Hz}$ ）までとする。橋脚下端の境界条件を固定として、反力解析をする。

**3. 解析結果** **3.1 主桁の振動特性** P3-P4間の支間中央におけるG1主桁鉛直方向加速度の解析結果を鋼支承時、ゴム支承時、桁連結時の場合について実測とともにFig.2に示す。また、Fig.3に中央各方向変位について示す。横軸は走行車両の前輪位置である。Fig.2より実測と同様に解析でも鋼支承からゴム支承に換わることにより加速度応答が大きくなり、桁連結後で小さくなっていることが分かる。Fig.3より、橋軸方向変位は鋼支承からゴム支承に換わることにより動的成分が減少していることが分かる。さらに桁連結後はほとんど変位が出なくなることが分かる。鉛直方向で最大変位は鋼支承時約3.4mm、ゴム支承時

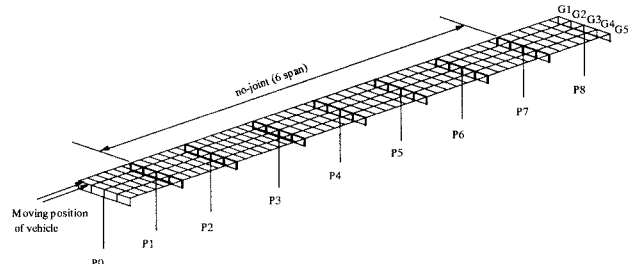


Fig.1 Analytical model of bridge

キーワード：道路橋交通振動、三次元解析、ゴム支承

連絡先：〒565-0871 吹田市山田丘2-1, phone 06-6879-7598, fax 06-6879-7601

で約4.0mmと大きくなるが、桁連結後では最大変位約2.8mmと鋼支承時の場合よりも小さくなることが分かる。これは、ゴム支承時では弾性支持されているので橋軸方向の拘束が小さくなつたためであり、桁連結時では両端の橋脚上で主桁が連結されていることで、たわみ角が低減されたためと考えられる。

**3.2 支承部の動的特性** Fig.4にP4橋脚上のP3-P4桁G1のゴム支承の鉛直方向相対変位（支承部上側・下側）を実測値と解析値について示す。この相対変位はゴムの圧縮変形により現れているが、桁連結後は支承回転変位が減少するためゴム支承時より変位は減少する。また、解析値は実測値とほぼ一致していることが分かる。

**3.3 動的反力** Fig.5にP4橋脚基部に着目して、動的反力の動的成分を記す。ここでの動的成分とは車両動的接地力から受ける反力および橋梁慣性力から受ける反力の合力である。橋軸方向に關して鋼支承時で生じている反力はゴム支承時ではほとんど生じないが、橋軸直角方向および鉛直方向では反力応答が非常に大きくなることが分かる。桁連結後は鋼支承時と比べると、橋軸方向に關してゴム支承時と同様に反力はほとんど生じなく、鉛直方向では少し大きく反力応答が出るが、橋軸直角方向は小さくなる。

既設桁と連結化桁との接続部であるP7橋脚での動的反力をFig.6に示す。この図もFig.5で述べたように動的反力の動的成分を記す。また、この解析ではすべて路面舗装後の路面凹凸を用いている。Fig.5のP4橋脚での動的反力は、鋼支承時からゴム支承時で大きくなつた反力応答が桁連結時には減少していたが、Fig.6からゴム支承時で大きくなつた反力応答は減少しないことが分かる。

#### 【参考文献】

- 1) 薄井王尚・林秀侃・吉川実・梶川康男・深田幸史：桁連結高架橋の振動特性、橋梁交通振動に関する論文集、pp.159-166、1997.11.
- 2) 小堀為雄・久保雅邦：弹性節点・弹性支点を有する連続桁橋の汎用的な動的解析法、土木学会論文集、No.356/I-3、pp.395-403、1985.4.
- 3) 川谷充郎・山田靖則・嶽下裕一：三次元車両モデルによる桁橋の動的応答解析、土木学会論文集、No.584/I-42、pp.79-86、1998.1.
- 4) 川谷充郎・下村和也・河渕和哲・野崎一郎・山口史夫・小林義和：広幅員単弦ローゼ桁橋の走行荷重下の振動使用性、土木学会第53回年次学術講演会講演概要集、I-B446、1998.10.

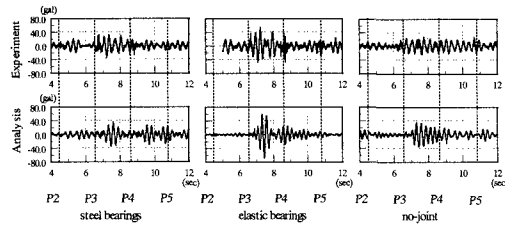


Fig.2 Acceleration of main girder G1 at span center of girder P3-P4

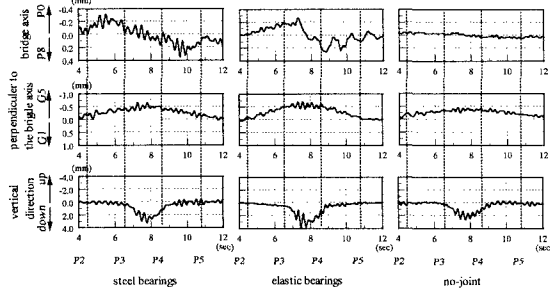


Fig.3 Deflection of main girder G1 at span center of girder P3-P4

橋軸方向に關して鋼支承時で生じている反力はゴム支承時ではほとんど生じないが、橋軸直角方向および鉛直方向では反力応答が非常に大きくなることが分かる。桁連結後は鋼支承時と比べると、橋軸方向に關してゴム支承時と同様に反力はほとんど生じなく、鉛直方向では少し大きく反力応答が出るが、橋軸直角方向は小さくなる。

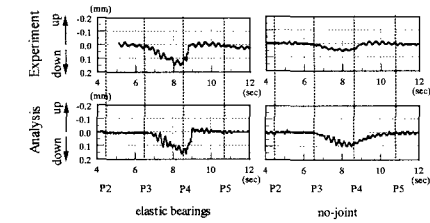


Fig.4 Relative displacement of vertical direction at elastic bearing of G1 girder P3-P4 on P4

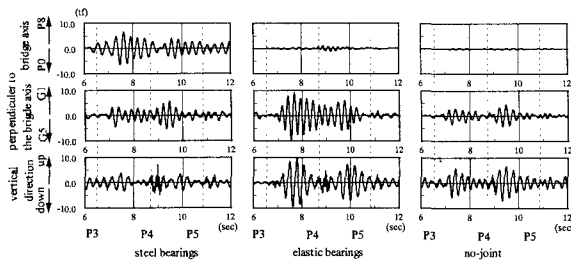


Fig.5 Reaction force at P4

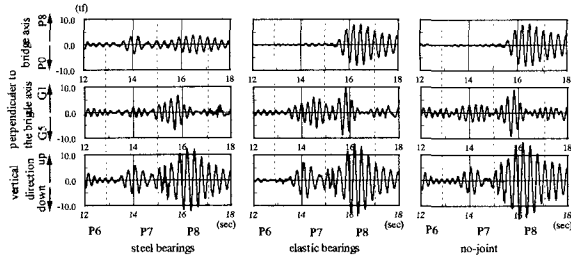


Fig.6 Reaction force at P7